

Effect of Supports on CO₂ Adsorption Behavior of Potassium-Based Adsorbents

Jiahao Zhang, Hua Pan*, Yu Mei

College of Biology and Environmental Engineering, Zhejiang Shuren University, Hangzhou Zhejiang
Email: *panhua.7@163.com

Received: Apr. 22nd, 2020; accepted: May 7th, 2020; published: May 14th, 2020

Abstract

Effect of the supports on CO₂ adsorption by potassium-based adsorbents was investigated. Both K₂CO₃/Attapulgite and K₂CO₃/TiO₂ adsorbents were prepared by impregnation method. The results indicated that the capacity for CO₂ adsorption of K₂CO₃/Attapulgite adsorbents is higher than that of K₂CO₃/TiO₂. CO₂ adsorption capacity of K₂CO₃/Attapulgite and K₂CO₃/TiO₂ was 74.4 mg/g and 51.2 mg/g at 333 K, respectively. No direct correlation between the surface area, pore volume and capture capacity was observed on potassium-based adsorbents. The nature of support plays an important role for CO₂ adsorption on potassium-based adsorbents. CO₂ adsorption capacity of Attapulgite supports was 21 mg/g. However, CO₂ adsorption capacity of TiO₂ supports was only 12.8 mg/g. The formation of potassium phase is an important factor for CO₂ adsorption on potassium-based adsorbents. Not only K₂CO₃ but also K₂Ca(CO₃)₂ was detect on K₂CO₃/Attapulgite. Both K₂CO₃ and K_{1.6}Ti_{1.6}O₃ were detected on K₂CO₃/TiO₂. During the CO₂ adsorption process on K₂CO₃/Attapulgite, K₂CO₃ and part of K₂Ca(CO₃)₂ transformed into KHCO₃. In the case of CO₂ adsorption process on K₂CO₃/TiO₂, only K₂CO₃ could be transformed into KHCO₃. CO₂ could not adsorbed by K_{1.6}Ti_{1.6}O₃.

Keywords

K₂CO₃, Support, CO₂, Adsorbents

载体对钾基吸附剂脱除CO₂的影响

张嘉豪, 潘华*, 梅瑜

浙江树人大学, 生物与环境工程学院, 浙江 杭州
Email: *panhua.7@163.com

收稿日期: 2020年4月22日; 录用日期: 2020年5月7日; 发布日期: 2020年5月14日

*通讯作者。

摘要

采用浸渍法制备了 K_2CO_3 /凹凸棒石和 K_2CO_3/TiO_2 吸附剂，研究了载体对钾基吸附剂脱除 CO_2 的影响。研究表明： K_2CO_3 /凹凸棒石的 CO_2 吸附容量大于 K_2CO_3/TiO_2 的 CO_2 吸附容量，在333 K时， K_2CO_3 /凹凸棒石和 K_2CO_3/TiO_2 的吸附容量分别为74.4 mg/g和51.2 mg/g。钾基吸附剂的比表面积和比孔容对 CO_2 吸附性能无明显的正相关性。载体是钾基吸附剂吸附 CO_2 性能差异的一方面原因，凹凸棒石载体的 CO_2 吸附容量为21 mg/g， TiO_2 载体的 CO_2 吸附容量为12.8 mg/g。碱金属钾在不同载体中的物相差异是造成 CO_2 吸附性能差别的另一原因，在 K_2CO_3 /凹凸棒石中，不仅有 K_2CO_3 物相，还检测出 $K_2Ca(CO_3)_2$ ，而在 K_2CO_3/TiO_2 中，则有 K_2CO_3 和 $K_{1.6}Ti_{1.6}O_3$ 物相。在 K_2CO_3 /凹凸棒石吸附 CO_2 过程中， K_2CO_3 和部分 $K_2Ca(CO_3)_2$ 转化成 $KHCO_3$ 。在 K_2CO_3/TiO_2 吸附 CO_2 过程中， K_2CO_3 转化成 $KHCO_3$ ，而 $K_{1.6}Ti_{1.6}O_3$ 未参与 CO_2 的吸附。

关键词

碳酸钾，载体，二氧化碳，吸附剂

Copyright © 2020 by author(s) and Hans Publishers Inc.

This work is licensed under the Creative Commons Attribution International License (CC BY 4.0).

<http://creativecommons.org/licenses/by/4.0/>



Open Access

1. 引言

化石燃料燃烧排放的大量 CO_2 是造成温室效应的主要原因，经济高效的捕集和分离 CO_2 是目前研究的热点。液态胺溶液吸附 CO_2 是工业生产中脱除 CO_2 的常见方法[1][2][3]，该技术比较成熟，吸附效果好，但是却存在设备容易腐蚀、吸附剂再生能耗大和容易被氧化降解等问题[4][5]。

近年来，可再生的碱金属吸附剂脱除 CO_2 技术操作相对简单，对设备的腐蚀性小，吸附剂再生温度低，能耗小，被认为是一种极具前景的捕集回收 CO_2 技术[6]-[13]。该技术中碱金属吸附剂理论吸附 CO_2 的反应方程式为 $M_2CO_3 + H_2O + CO_2 \leftrightarrow 2MHCO_3$ ($M = Na, K$)。其中碱金属钾吸附剂由于具有较好的 CO_2 吸附性能而受到广泛研究[6][7][8][9][10]。Sharonov等[6]研究了 K_2CO_3/Al_2O_3 吸附剂在295 K时吸附 CO_2 的动力学，研究得到反应速率中 CO_2 浓度的反应级数为 $n = 1.04 \pm 0.07$ 。Lee等[7]报道了 K_2CO_3/MgO 吸附剂具有很好吸附和再生特性，在323 K, 11% H_2O 条件下，其 CO_2 的最大吸附容量可达197.6 mg/g。此外， K_2CO_3/ZrO_2 [8]、 $K_2CO_3/vermiculite$ [9]和 K_2CO_3/TiO_2 [10]等吸附剂也具有较好的 CO_2 吸附性能。

虽然上述不同载体负载 K_2O_3 的吸附剂均显示了较好的 CO_2 吸附性能，然而，现有的文献报道中由于吸附剂的制备方法和反应条件不同，难以比较不同载体对碱金属吸附剂吸附 CO_2 性能的影响。为探明载体对碱金属吸附剂吸附 CO_2 性能的影响，本文选取 TiO_2 和凹凸棒石(Attapulgite)作为载体，采用浸渍法制备了含有30% K_2CO_3 (质量百分比)的吸附剂，在固定床反应中比较了钾基吸附剂的吸附容量，采用BET和XRD表征分析了载体对钾基吸附剂脱除 CO_2 的影响。

2. 实验部分

2.1. 钾基吸附剂的制备

采用浸渍法将 K_2CO_3 (Aldrich, ≥99%)负载在 TiO_2 (杭州万景新材料有限公司, 99%)和凹凸棒石(安徽

明光)等载体上, 制备钾基吸附剂。将 7 g 载体加入到 20 ml 含有 3 g 无水 K_2CO_3 的溶液中, 在室温下采用磁力搅拌器混合 24 h 后, 在 353 K 下采用旋转式蒸发器烘干, 最后将烘干的样品在空气气氛下置于马弗炉中 673 K 下煅烧 4 h。

2.2. CO_2 吸附实验

将 1.5 g 的钾基吸附剂装入内径为 1 cm, 长度为 25 cm 的固定床石英管反应器中。在吸附实验中, 水汽浓度的控制通过注射泵注射后高温气化进入反应器。实验模拟气成分为 CO_2 (2.0 vol.%) - H_2O (10 vol.%) - N_2 (载气), 气体流量 120 cm^3/min , 反应温度 333 K。 CO_2 浓度采用气相色谱(TCD 检测器)测定, 采样时间间隔为 1 min。

CO_2 的平衡吸附容量通过方程(1)计算:

$$q_e = \frac{PC_0 \times 10^{-3} \times F \times M_{CO_2}}{R \times (T_0 + 273)} \times \frac{S}{W} \quad (1)$$

方程(1)中 q_e 为单位质量吸附剂的 CO_2 平衡吸附容量, mg/g; P 为实验的操作压力, 1.0135×10^5 Pa; C_0 为 CO_2 的平衡浓度, 2%; F 为实验的气体流量, 120 ml/min; M_{CO_2} 为 CO_2 的分子量, 44 g/mol; R 为气体常量, 8.314 J/(mol·K); T_0 为室温, 25°C; S 为吸附曲线的积分面积, min; W 为吸附剂的重量, 1.5 g。

吸附曲线的积分面积 S 通过方程(2)计算得到:

$$S = \int_0^t \left(1 - \frac{C_{out}}{C_0} \right) dt \quad (2)$$

方程(2)中 C_{out} 为吸附后 CO_2 的浓度, %; t 为吸附平衡时间, min。

2.3. 吸附剂表征

2.3.1. 比表面积和孔容积

样品的比表面积和孔容积测定采用 BET 法(美国, Coulter Omnisorp100CX 型孔隙分析仪)。以高纯氮气作为样品的吸附气体, 压力为 300 KPa。将装有样品的样品管在电炉上 373 K 加热, 抽真空处理 2 小时, 差量法得到样品的真实重量。由吸附数据求得 BET 比表面积。样品的孔结构数据采用液氮温度(77 K)下的 N_2 吸附法测定。

2.3.2. X 射线衍射(XRD)

XRD 衍射数据用阶梯扫描方式。在 RIGAKU D/MAX 2550/PC 多晶衍射仪上采集, $Cu/K\alpha$ 辐射源, 功率 $40\text{ kV} \times 40\text{ mA}$, 衍射束置石墨单色器除去 $K\beta$ 辐射, 入射波长为 0.15405 nm , 阶宽 0.02° , $2\theta = 5\text{--}80^\circ$, 每步计数时间 4 s。

3. 结果与讨论

3.1. CO_2 吸附性能

图 1 为钾基吸附剂的 CO_2 吸附曲线。从图 1 可以看出, K_2CO_3 /凹凸棒石显示出较好的 CO_2 吸附性能, 其穿透时间为 21 min, 而 K_2CO_3/TiO_2 的穿透时间为 13 min。说明 K_2CO_3 /凹凸棒石吸附剂的吸附性能优于 K_2CO_3/TiO_2 。图 2 考察了不同载体吸附 CO_2 的性能。 TiO_2 的吸附穿透时间较短, 仅为 2 min, 而凹凸棒石的吸附性能较好, 穿透时间为 4 min。可见, 载体吸附 CO_2 性能不同是造成钾基吸附剂吸附 CO_2 的性能差异的原因之一。

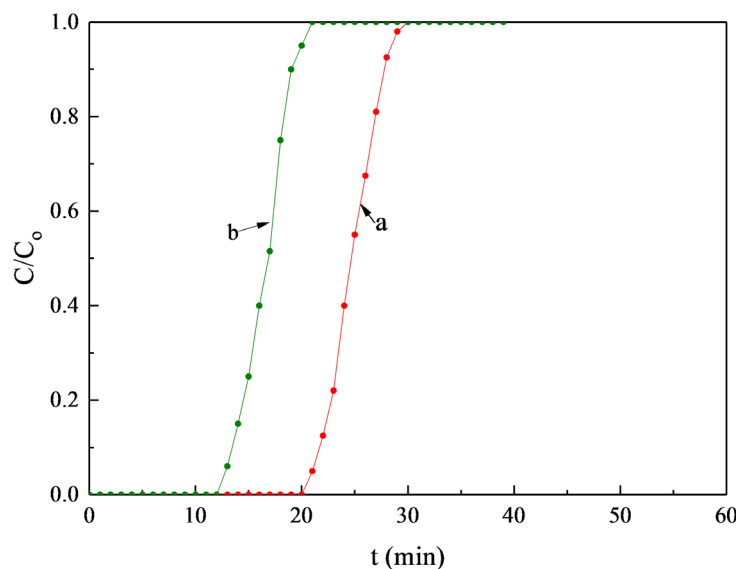


Figure 1. Adsorption curve of CO₂ on potassium-based adsorbents. (a) K₂CO₃/Attapulgite; (b) K₂CO₃/TiO₂

图 1. 钾基吸附剂的 CO₂ 吸附曲线。 (a) K₂CO₃/凹凸棒石; (b) K₂CO₃/TiO₂

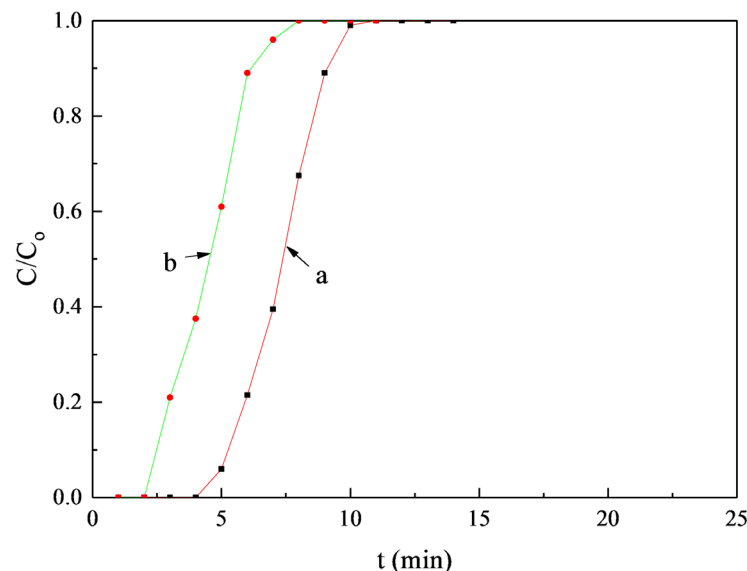


Figure 2. Adsorption curve of CO₂ on support. (a) Attapulgite; (b) TiO₂

图 2. 载体的 CO₂ 吸附曲线。 (a) 凹凸棒石; (b) TiO₂

依据图 1 和图 2 的吸附曲线,通过方程(1)和(2)计算得到钾基吸附剂和载体的 CO₂ 吸附容量(见图 3)。K₂CO₃/凹凸棒石吸附剂的 CO₂ 吸附容量为 74.4 mg/g, K₂CO₃/TiO₂ 吸附剂的 CO₂ 吸附容量为 51.2 mg/g。载体的 CO₂ 吸附容量与钾基吸附剂相一致: 凹凸棒石(21 mg/g) > TiO₂(12.8 mg/g)。虽然载体本身是造成钾基吸附剂吸附 CO₂ 的性能差异的原因之一。但是,通过比较钾基吸附剂与相应载体的 CO₂ 吸附容量差, 我们发现不同的钾基吸附剂中相同质量分数的 K₂CO₃ (30%) 的 CO₂ 吸附性能存在差异。K₂CO₃/凹凸棒石与载体凹凸棒石的 CO₂ 吸附容量差为 53.4 mg/g, K₂CO₃/TiO₂ 与载体 TiO₂ 的 CO₂ 吸附容量差为 38.4 mg/g。这可能由于① 钾基吸附剂的比表面积和比孔容的差异造成 K₂CO₃ 在载体上分布存在差异; ② 在制备钾基吸附剂时 K₂CO₃ 与载体发生相互作用, 改变了碱金属钾在不同吸附剂中的存在形式, 造成 CO₂ 吸附性

能的不同。通过 BET 和 XRD 表征，分别考察钾基吸附剂的比表面积和比孔容，以及钾基吸附剂中的物相尤其是碱金属钾的物相对 CO_2 吸附性能的影响。

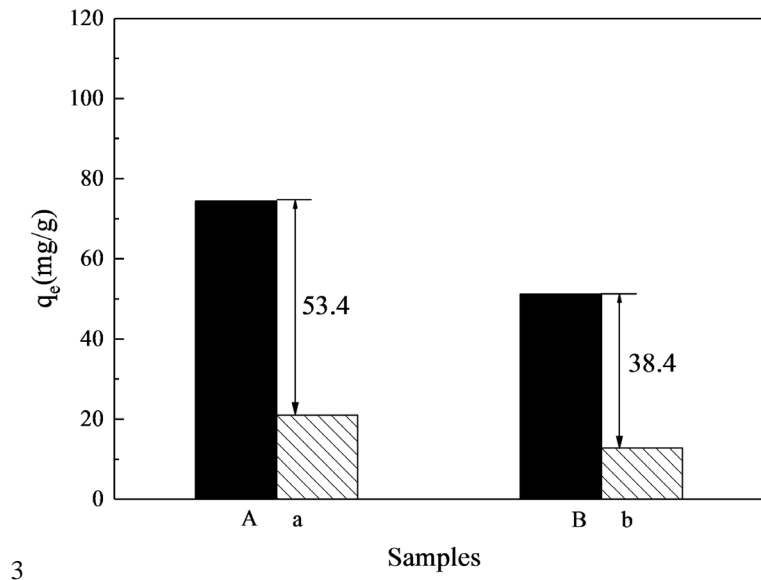


Figure 3. Comparison of adsorption capacity between potassium based adsorbent and support. (A) $\text{K}_2\text{CO}_3/\text{Attapulgite}$; (a) Attapulgite; (B) $\text{K}_2\text{CO}_3/\text{TiO}_2$ and (b) TiO_2

图 3. 钾基吸附剂与载体吸附容量的比较。(A) $\text{K}_2\text{CO}_3/\text{凹凸棒石}$ ；(a) 凹凸棒石；(B) $\text{K}_2\text{CO}_3/\text{TiO}_2$ 和(b) TiO_2

3.2. BET

表 1 比较了钾基吸附剂的比表面积及孔容积，表面积和比孔容的大小为 $\text{K}_2\text{CO}_3/\text{TiO}_2 > \text{K}_2\text{CO}_3/\text{凹凸棒石}$ 。结合钾基吸附剂的 CO_2 吸附容量(图 3)，可见钾基吸附剂的比表面积和比孔容对 CO_2 吸附容量无明显的正相关性。

Table 1. Physical and chemical properties of potassium based adsorbents

表 1. 钾基吸附剂的理化性质

样品	比表面积 ($\text{m}^2 \cdot \text{g}^{-1}$)	比孔容($\text{cm}^3 \cdot \text{g}^{-1}$)
$\text{K}_2\text{CO}_3/\text{TiO}_2$	20.77	0.191
$\text{K}_2\text{CO}_3/\text{凹凸棒石}$	18.23	0.058

3.3. XRD

通过 XRD 表征了钾基吸附剂中碱金属钾的物相。图 4 为 $\text{K}_2\text{CO}_3/\text{凹凸棒石}$ 吸附 CO_2 前后的 XRD 谱图。从图 4 中可见，在未吸附 CO_2 时， $\text{K}_2\text{CO}_3/\text{凹凸棒石}$ 中不仅检测到 K_2CO_3 物相，还分别检测出 $\text{K}_2\text{Ca}(\text{CO}_3)_2$ 、 MgO 、 CaCO_3 和 SiO_2 。由于 $\text{K}_2\text{Ca}(\text{CO}_3)_2$ 物相的存在，表明在 $\text{K}_2\text{CO}_3/\text{凹凸棒石}$ 制备中， K_2CO_3 与载体凹凸棒石发生了化学反应，部分 K_2CO_3 分别转化成 $\text{K}_2\text{Ca}(\text{CO}_3)_2$ 。当 $\text{K}_2\text{CO}_3/\text{凹凸棒石}$ 吸附 CO_2 后，其 XRD 谱图中 K_2CO_3 物相消失并出现了 KHCO_3 新物相，对比吸附 CO_2 前后 $\text{K}_2\text{Ca}(\text{CO}_3)_2$ 物相衍射峰及其强度发现部分 $\text{K}_2\text{Ca}(\text{CO}_3)_2$ 衍射峰消失，且其衍射峰的强度降低，说明部分 $\text{K}_2\text{Ca}(\text{CO}_3)_2$ 吸附 CO_2 后转化成 KHCO_3 。此外，对比吸附 CO_2 前后 $\text{K}_2\text{Ca}(\text{CO}_3)_2$ 物相衍射峰及其强度发现 MgO 的衍射峰变化与 $\text{K}_2\text{Ca}(\text{CO}_3)_2$ 衍射峰变化相似，说明部分 CO_2 可被凹凸棒石中 MgO 吸附。

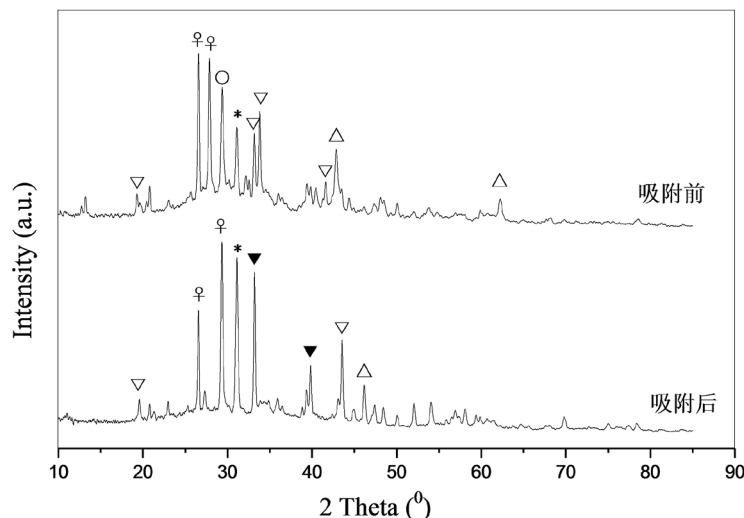


Figure 4. XRD spectrum of K_2CO_3 /attapulgite adsorbent during before and after CO_2 adsorption. (\triangle) MgO , (\circ) K_2CO_3 , (∇) $\text{K}_2\text{Ca}(\text{CO}_3)_2$, (*) CaCO_3 , (\blacktriangledown) KHCO_3 , (?) SiO_2

图4. K_2CO_3 /凹凸棒石吸附剂吸附 CO_2 前后的 XRD 谱图。(\triangle) MgO , (\circ) K_2CO_3 , (∇) $\text{K}_2\text{Ca}(\text{CO}_3)_2$, (*) CaCO_3 , (\blacktriangledown) KHCO_3 , (?) SiO_2

图5为 $\text{K}_2\text{CO}_3/\text{TiO}_2$ 吸附 CO_2 前后的 XRD 谱图。在未吸附 CO_2 时, $\text{K}_2\text{CO}_3/\text{TiO}_2$ 中不仅检测到 K_2CO_3 物相, 还分别检测出 K_2CO_3 、 TiO_2 和 $\text{K}_{1.6}\text{Ti}_{1.6}\text{O}_3$ 。由于 $\text{K}_{1.6}\text{Ti}_{1.6}\text{O}_3$ 物相的存在, 表明在 $\text{K}_2\text{CO}_3/\text{TiO}_2$ 制备中, K_2CO_3 与载体 TiO_2 发生了化学反应, 部分 K_2CO_3 分别转化成 $\text{K}_{1.6}\text{Ti}_{1.6}\text{O}_3$ 。当 $\text{K}_2\text{CO}_3/\text{TiO}_2$ 吸附 CO_2 后, 其 XRD 谱图中 K_2CO_3 物相消失并出现了 KHCO_3 新物相, 说明 CO_2 与 K_2CO_3 反应生成了 KHCO_3 。对比吸附 CO_2 前后 $\text{K}_{1.6}\text{Ti}_{1.6}\text{O}_3$ 和 TiO_2 物相衍射峰及其强度发现这些物相衍射峰及其强度基本未发生变化, 说明 $\text{K}_{1.6}\text{Ti}_{1.6}\text{O}_3$ 和 TiO_2 未与 CO_2 发生反应。因此, $\text{K}_2\text{CO}_3/\text{TiO}_2$ 的吸附性能低于 K_2CO_3 /凹凸棒石。

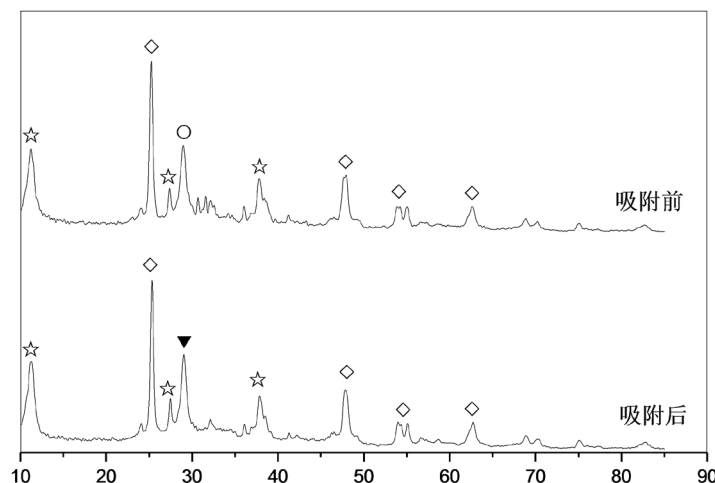


Figure 5. XRD spectrum of $\text{K}_2\text{CO}_3/\text{TiO}_2$ adsorbent during before and after CO_2 adsorption. (\circ) K_2CO_3 , (\blacktriangledown) KHCO_3 , (\diamond) TiO_2 , (\star) $\text{K}_{1.6}\text{Ti}_{1.6}\text{O}_3$

图5. $\text{K}_2\text{CO}_3/\text{TiO}_2$ 吸附剂吸附 CO_2 前后的 XRD 谱图。(\circ) K_2CO_3 , (\blacktriangledown) KHCO_3 , (\diamond) TiO_2 , (\star) $\text{K}_{1.6}\text{Ti}_{1.6}\text{O}_3$

4. 结论

采用浸渍法制备了 K_2CO_3 /凹凸棒石和 $\text{K}_2\text{CO}_3/\text{TiO}_2$ 吸附剂, 在常压、333 K、 CO_2 (2%) 和 H_2O (10%)

条件下, 钾基吸附剂的 CO₂ 吸附容量顺序为 K₂CO₃/凹凸棒石(74.4 mg/g) > K₂CO₃/TiO₂ (51.2 mg/g), 载体的 CO₂ 吸附容量为凹凸棒石(21 mg/g) > TiO₂ (12.8 mg/g)。

钾基吸附剂载体的比表面积和比孔容与 CO₂ 吸附容量无明显的正相关性。碱金属钾在不同载体中的物相差异是造成 CO₂ 吸附性能差别的原因, 在 K₂CO₃/凹凸棒石吸附剂中, 不仅有 K₂CO₃ 物相, 还分别检测出 K₂Ca(CO₃)₂ 和 MgO。当 K₂CO₃/凹凸棒石吸附 CO₂ 时, 不仅 K₂CO₃ 可与 CO₂ 反应生成 KHCO₃, 而且 K₂Ca(CO₃)₂ 和 MgO 也可吸附 CO₂。在 K₂CO₃/TiO₂ 吸附剂中, 除了检测到 K₂CO₃ 物相, 还分别检测出 K₂CO₃、TiO₂ 和 K_{1.6}Ti_{1.6}O₃。当 K₂CO₃/TiO₂ 吸附 CO₂ 时, CO₂ 与 K₂CO₃ 反应生成了 KHCO₃, 而 K_{1.6}Ti_{1.6}O₃ 和 TiO₂ 未与 CO₂ 发生反应。因此, K₂CO₃/TiO₂ 的吸附性能低于 K₂CO₃/凹凸棒石。

基金项目

浙江省自然科学基金(LY19E080023); 浙江树人大学省属高校基本科研业务费专项资金项目资助(2020XZ012)。

参考文献

- [1] 薛全民, 周亚平, 苏伟. 甲基二乙醇胺水溶液吸收 CO₂ 的研究[J]. 化学工程, 2009, 37(9): 1-4.
- [2] 陈春宜, 王祖武, 魏文龙, 程诚, 王骏星, 周家勇, 车垚. 有机胺对 CO₂ 吸收解吸的研究[J]. 中国环境科学, 2011, 31(7): 1109-1114.
- [3] 施耀, 项菲, 李伟, 钟战铁. 混合有机胺吸收烟道气中 CO₂ 的交互作用机理[J]. 中国环境科学, 2003, 23(2): 201-205.
- [4] Askanksha, P.K.K. and Srivastava, V.K. (2007) Carbon Dioxide Absorption into Monethanolamine in a Continous Film Contactor. *Chemical Engineering Journal*, **133**, 229-237. <https://doi.org/10.1016/j.cej.2007.02.001>
- [5] Mandal, B.P., Guha, M., Biswas, A.K. and Bandyopadhyay, S.S. (2001) Removal of Carbon Dioxide by Absorption in Mixed Amines: Modeling of Absorption in Aqueous MDEA/MEA and AMP/MEA Solutions. *Chemical Engineering Science*, **56**, 6217-6224. [https://doi.org/10.1016/S0009-2509\(01\)00279-2](https://doi.org/10.1016/S0009-2509(01)00279-2)
- [6] Sharonov, V.E., Okunev, A.G. and Aristov, Y.I. (2004) Kinetics of Carbon Dioxide Sorption by the Composite Material K₂CO₃ in Al₂O₃. *Reaction Kinetics and Catalysis Letters*, **83**, 363-369. <https://doi.org/10.1023/B:REAC.0000034849.15412.d2>
- [7] Lee, S.C., Chae, H.J., Lee, S.J., Choi, B.Y., Lee, C.K., Lee, J.B., Ryu, C.K. and Kim, J.C. (2008) Development of Regenerable MgO-Based Sorbent Promoted with K₂CO₃ for CO₂ Capture at Low Temperatures. *Environmental Science & Technology*, **42**, 2736-2741. <https://doi.org/10.1021/es702693c>
- [8] Lee, S.C., Chae, H.J., Lee, S.J., Park, Y.H., Ryu, C.K., Yi, C.K. and Kim, J.C. (2009) Novel Regenerable Potassium-Based Dry Sorbents for CO₂ Capture at Low Temperatures. *Journal of Molecular Catalysis B: Enzymatic*, **56**, 179-184. <https://doi.org/10.1016/j.molcatb.2008.07.007>
- [9] Okunev, A.G., Sharonov, V.E., Aistov, Y.I. and Parmon, V.N. (2000) Sorption of Carbon Dioxide from Wet Gases by K₂CO₃-In-Porous Matrix: Influence of the Matrix Nature. *Reaction Kinetics and Catalysis Letters*, **71**, 355-362. <https://doi.org/10.1023/A:1010395630719>
- [10] Lee, S.C., Kwon, Y.M., Park, Y.H., Lee, W.S., Park, J.J., Ryu, C.K., Yi, C.K. and Kim, J.C. (2010) Structure Effects of Potassium-Based TiO₂ Sorbents on the CO₂ Capture Capacity. *Topics in Catalysis*, **53**, 641-647. <https://doi.org/10.1007/s11244-010-9499-3>
- [11] Lee, J.B., Ryu, C.K., Baek, J.I., Lee, J.H., Eom, T.H. and Kim, S.H. (2008) Sodium-Based Dry Regenerable Sorbent for Carbon Dioxide Capture from Power Plant Flue Gas. *Industrial & Engineering Chemistry Research*, **47**, 4465-4472. <https://doi.org/10.1021/ie0709638>
- [12] Shin, D.H., Cheigh, H.S. and Lee, D.S. (2002) The Use of Na₂CO₃-Based CO₂ Absorbent Systems to Alleviate Pressure Buildup and Volume Expansion of Kimchi Packages. *Journal of Food Engineering*, **53**, 229-235. [https://doi.org/10.1016/S0260-8774\(01\)00161-3](https://doi.org/10.1016/S0260-8774(01)00161-3)
- [13] Siriwardane, R.V., Robinson, C., Shen, M. and Simonyi, T. (2007) Novel Regenerable Sodium-Based Sorbents for CO₂ Capture at Warm Gas Temperatures. *Energy Fuels*, **21**, 2088-2097. <https://doi.org/10.1021/ef070008y>